

равновесной сегрегаций, которые с повышением температуры уменьшаются.

В условиях горячей пластической деформации природой движущей силы миграции является избыточная объемная энергия, накопленная в процессе пластической деформации. Удельная энергия  $\epsilon$  дислокации зависит от модуля сдвига  $G$  и вектора  $b$  Бюргерса.

Тогда движущая сила  $F_{\text{дв}}$  миграции определиться по формуле

$$F_{\text{дв}} = k_d \epsilon \rho = k_d G b^2 \rho,$$

где  $k_d = 0,7 \div 1$  – коэффициент, учитывающий характер распределения дислокаций;  $\rho$  – плотность дислокаций в деформированной области материала.

На основании ранее проведенных исследований тонкой структуры порошкового материала установлено, что плотность дислокаций при уплотнении материала до остаточной пористости приблизительно 3 % составляет  $10^7 \div 10^{10} \text{ см}^{-2}$ . Тогда интервал изменения величины движущей силы колеблется в пределах  $10^2 \div 10^5 \text{ Дж/м}^2$ .

В результате проведенных исследований установлено, что при формировании порошкового материала, сопровождающегося уменьшением параметра  $F_{\text{с.т.}}$ , наблюдается значительное превосходство значений  $F_{\text{дв}}$  над значениями силы торможения, что облегчает отрыв мигрирующей межчастичной поверхности сращивания от сегрегированных атомов элементов.

© 2012 г. Т.А. Литвинова, С.Н. Егоров  
Поступила 15 июля 2010 г.

УДК 621.778.5:677.721

**В.А. Харитонов, Т.А. Лаптева**

Магнитогорский государственный технический университет им. Г.И. Носова

## МЕТОДИКА ОПРЕДЕЛЕНИЯ ШИРИНЫ МЕЖПРОВОЛОЧНОГО КОНТАКТА ПРИ МАЛОМ ОБЖАТИИ ПРЯДЕЙ

Между проволоками при обжатии прядей формируются контактные поверхности шириной  $f'$  (рис. 1). Известные методики<sup>1, 2</sup> определения ширины  $f'$  контактной поверхности не учитывают влияния площади  $S_{\text{смеш}}$  смещенного металла на увеличение ширины площадки контакта, а также смещения контактной полосы по контуру проволоки, что вносит погрешности в оценку развитости контактной поверхности. В настоящей работе принимается, что ширина площадки контакта пропорциональна прилагаемой к ней силе, площадь сечения проволок не меняется (см. сноска 1).

Определяемое смещением металла из прилежащих областей увеличение  $q$  половины ширины контактной поверхности ( $f'/2 = f/2 + q$ ) находим по формуле

$$q = t + \sqrt{1 - 2S_{\text{смеш}}/(ab)},$$

где  $t = \sqrt{a^2 + b^2}$ ;  $a = (r_i - x_i) \cos(\lambda/2) - r_i$ ;  $b = r_i(\lambda - 2 \times \arcsin(f/2r_i))/2$ ;  $x_i$  – расстояние между контактной поверхностью и вершиной дуги окружности кон-

тирующей проволоки радиусом  $r_i$ ;  $\lambda$  – центральный угол окружности проволоки, образованный двумя радиусами, проведенными к центрам контактов с другими проволоками.

Обжатие пряди сравниваем с осадкой ее проволок другими проволоками как наклонными бойками. Неравномерность течения металла и разную скорость роста половины площадок контакта определяем по изменению угла  $\lambda$  по следующей формуле:

$$\Delta(\lambda/2) = \frac{90f' \cos^2 \beta}{\pi r (1 + \sin^2 \beta)},$$

где  $\beta$  – центральный угол окружности проволоки, образованный радиусами, проведенными по направлению к

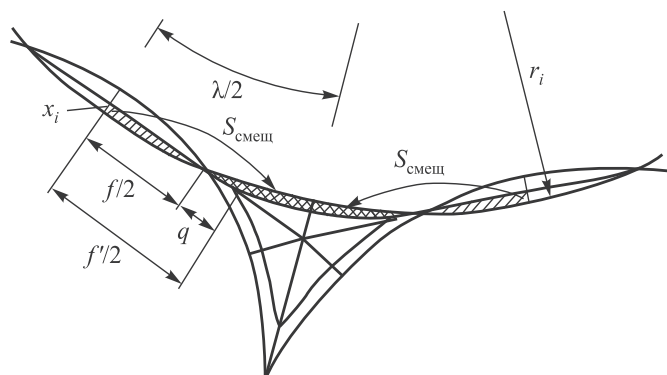
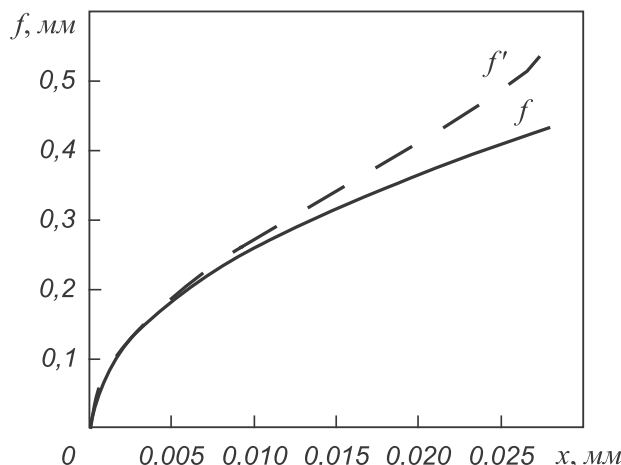


Рис. 1. Схема для определения величины площадки контакта

<sup>1</sup> Глушко М.Ф., Скалацкий В.К., Малиновский В.А. – В кн.: Стальные канаты: сб. науч. тр. Вып. 9. – Киев: Техника, 1972. С. 120 – 130.

<sup>2</sup> Ставничук П.А. Разработка энергосберегающей технологии производства пластически деформированных арматурных канатов прокаткой: Автореф. дис. канд. техн. наук. – Магнитогорск, 2003. 20 с.

Рис. 2. График отклонения  $f$  от  $f'$ 

центру пряди и к центру окружности контактирующей проволоки.

Результаты расчетов по предлагаемой методике показывают, что ширина  $f'$  контактной поверхности для проволоки диам. 1,7 мм при  $x = 0,026$  мм оказывается больше  $f$  на 23 % (рис. 2), изменение половины угла  $\lambda/2$  при  $\beta = 30^\circ$  составляет  $10^\circ$ .

**Выходы.** Предложена уточненная методика расчета ширины контактной поверхности проволок при малом пластическом обжатии многослойных прядей. Методика учитывает влияние вытесненного объема металла из межпроволочных зазоров и сдвиги контактных поверхностей.

© 2012 г. В.А. Харитонов, Т.А. Лаптева  
Поступила 1 ноября 2011 г.

УДК 669.018.25:624.014.2

**В.Е. Реморов, А.В. Федорович, И.Н. Федорович**

Сибирский государственный индустриальный университет

## СВЯЗЬ ТВЕРДОСТИ С НАПРЯЖЕННО-ДЕФОРМИРОВАННЫМ СОСТОЯНИЕМ МЕТАЛЛА

Современные методы расчетов часто не обеспечивают достаточную надежность результатов оценки величины и характера распределения напряжений вблизи конструктивных концентраторов, дефектов и повреждений, тем самым существенно ограничивают возможность использования полученных результатов для анализа степени их опасности и прогнозирования остаточного ресурса металлических конструкций.

В связи с этим, а также учитывая, что в настоящее время появились широкие возможности измерения твердости металла непосредственно на конструкциях с помощью компактных переносных твердомеров, для определения величины и характера распределения напряжений вблизи концентраторов, дефектов и повреждений более перспективным представляется использовать корреляционную связь твердости с напряженно-деформированным состоянием (НДС) металла.

Для измерения твердости поверхность исследуемых элементов обрабатывается до уровня шероховатости не более  $2,5 R_a$ . После этого мягким карандашом наносится координатная сетка с ячейкой  $5 \times 5$  мм.

Твердость измеряется в узлах сетки переносным твердомером механического типа Темп-2 или ультразвуковым типа Узит-3. Для подробного анализа результаты измерения твердости рекомендуется представлять в виде таблиц, полей одинаковой твердости и трехмерных диаграмм.

В связи с тем, что для различных марок и состояний стали зависимость напряжений от деформаций за пределами упругого участка диаграммы растяжения различна, то и связь между твердостью металла и НДС необходимо определять индивидуально для каждой рассматриваемой марки стали.

Для этого должны быть испытаны и исследованы два типа образцов: 1 – гладкие (стандартные) для получения диаграммы растяжения и 2 – с рабочей частью переменного сечения, образованного пологими «выкружками» на боковых поверхностях, необходимых для получения как можно более широкого диапазона упругопластических и пластических деформаций образца вплоть до разрушения. Испытания должны проводиться не менее чем на трех образцах.

Диаграммы растяжения, полученные при испытании образцов типа 1, используются в расчетах при моделировании их НДС с учетом физической нелинейности исследуемого металла. Для образцов типа 2 необходимо произвести моделирование НДС в соответствующих точках измерения твердости как в упругой постановке для тестирования программы, так и с учетом физической нелинейности материала для точек, где возникает упругопластическая и пластическая деформация.

Затем необходимо провести корреляционный анализ связи измеренных значений твердости с расчетными значениями напряжений и найти уравнения регрессии,